

BCR型TKAを施行した症例の関節可動域制限に対し 関節鏡視下受動術を施行した1症例

八田翔太¹⁾, 奥田真義²⁾, 川口侑希¹⁾

はじめに

人工膝関節全置換術(TKA)後、約20~30%もの患者が結果に満足していないと報告されてきている¹⁾。特にbi-cruciate retaining type TKA(BCR型TKA)は生理的なkinematics、関節の安定性、固有知覚温存などが期待される一方で、術後に可動域制限を合併しやすいとの報告が散見され、可動域訓練に難渋するケースは少なくない。

今回、BCR型TKA術後に可動域の改善が得られなかった症例に対し、関節鏡視下受動術を施行し、浮腫軽減を念頭に置いた積極的なリハビリテーションを早期から行うことで奏効した1例を経験したので報告する。

症 例

64歳、女性

BMI: 24.97

既往歴:なし

主訴:両膝関節痛

現病歴:約10年前から両膝関節痛を自覚。歩行時の疼痛が増悪してきたため当院を受診した。

画像所見:単純X線像で内側型の末期の両側変形性膝関節症を認めた。

理学所見:独歩可能であり、屈曲角度右115°左120°、伸展角度右-10°左-10°、KOOSは61.3であった。

Demand:自転車に乗ること。

手術:展開はtrivector approachで行い、使用機種は右膝がSmith & Nephew JORNEY II XR、左膝がSmith & Nephew JORNEY II CRで行われた(図1)。

臨床経過

手術翌日より浮腫管理および可動域訓練、疼痛に応じて歩行訓練を開始し、病棟ではアイシング、CPMを実施した。術後6カ月で屈曲角度右120°左115°、伸展角度右-5°左-5°であった。KOOSはTKA術前→退院時→関節鏡視下受動術後(術後6カ月)の評価の順に、症状:57.14→67.86→82.14、痛み:69.44→77.78→97.22、機能:日常生活:77.94→100→98.53、機能、スポーツ・レク:40.0→40.0→40.0、QOL:6.25→31.25→56.25(表1、図2)と改善し、自覚的不安定感もなく独歩、自転車駆動ともに可能となった。

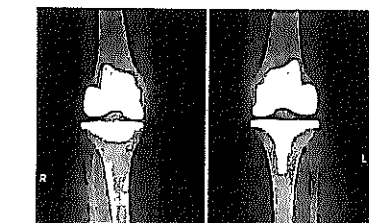


図1

担当変更直後の理学所見で膝蓋骨の遠位方向への動きの低下、最大屈曲位でstiffnessを認めた。リハビリテーションを継続したが著変なく、組織間での癒着およびplica syndromeの可能性を医師へ上申した。TKA後1年5カ月で関節鏡視下受動術が施行され、PF関節・ACL周囲の瘢痕組織や滑膜、特にinfrapatellar plicaを可及的に切除し、suprapatellar bursa周囲の剥離が行われた。

術翌日より浮腫管理および可動域訓練、疼痛に応じて歩行訓練を開始し、病棟ではアイシング、CPMを実施した。術後6カ月で屈曲角度右120°左115°、伸展角度右-5°左-5°であった。KOOSはTKA術前→退院時→関節鏡視下受動術後(術後6カ月)の評価の順に、症状:57.14→67.86→82.14、痛み:69.44→77.78→97.22、機能:日常生活:77.94→100→98.53、機能、スポーツ・レク:40.0→40.0→40.0、QOL:6.25→31.25→56.25(表1、図2)と改善し、自覚的不安定感もなく独歩、自転車駆動ともに可能となった。

考 察

TKA後の合併症に関して茂山ら²⁾、TKA後のPF関節障害は、TKA後合併症の中でも最も頻度が多いと報告している。本症例においても関節鏡でPF関節、ACL周囲に瘢痕組織を認め、搔扒・摘出することで可動域が改善した。また膝蓋骨の遠位方向への動きの低下、最大屈曲位でstiffnessを認めたため、軟部組織間での癒着や膝蓋韌帯の伸張性の低下が考えられた。藤井ら³⁾は早期積極的ROM訓練により大きな屈曲角度が獲得できるため、癒着の程度が軽かったことを報告しているが、達坂ら⁴⁾は積極的他動運動により、腫脹や疼痛が増悪する可能性を報告している。本症例ではTKA直後から疼痛およ

表1 KOOS				
症状	痛み	機能: 日常生活	機能: スポーツ・レク	QOL
術前	57.14	69.44	77.94	40.0
退院時	67.86	77.78	100	40.0
術後6カ月	82.14	97.22	98.53	56.25

び防御性収縮が強かったにもかかわらず、腫脹や疼痛を考慮した可動域訓練が実施できていなかった可能性がある。疼痛および防御性収縮が強い症例に対しては浮腫管理、アイシングなどの物理療法を用いて疼痛閾値をコントロールしたうえで可動域訓練を行い、癒着を防ぐことが重要である。我々は関節内の圧を下げるために、可動域訓練前に弾性包帯を用いて浮腫管理(図3)を行っている。佐藤ら⁵⁾の考案したクロワッサン法に準じて、膝蓋骨周囲に捻じった弾性包帯をドーナツ状に置き、その上から圧迫を加えながら弾性包帯を巻き、20分固定した後に圧迫を解除し可動域訓練を開始している。

術後屈曲角度はJ-KOOSやJKOMといった患者立脚型評価と相違しなかったとの報告がある⁶⁾。本症例においても、屈曲角度はTKA術前と比較して大きく改善していないが、関節鏡視下受動術により患者demandを達成したこと、特にQOLの項目が大きく改善したと考える。

前述したTKA後の軟部組織の癒着、瘢痕形成による可動域制限は理学療法のみで改善することは困難なケースが多い。本症例では医師へ上申し、BCR型TKA術後1年以上経過した拘縮例でも、関節鏡視下受動術によって可動域が改善しADL、満足度が向上した。本症例を通して改めて医師との連携、TKA後のプロトコールの一元化、経験の浅い理学療法士への指導的重要性を痛感した。

医師と理学療法士が患者のdemandを共有し、特に強い拘縮を認める症例に関しては理学療法士が積極的に医師へ上申できるような環境や多職種連携が必要である。

結 語

1. BCR型TKA後の術後の可動域制限に対し関節鏡視下受動術を施行した症例を経験した。
2. BCR型TKA術後1年以上経過した拘縮例でも、関節鏡視下受動術によって可動域が改善し、満

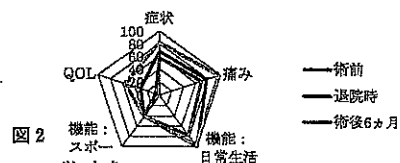


図2

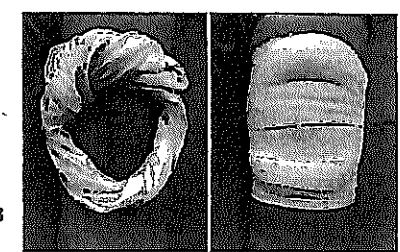


図3

足底が向上した。

3. TKA後のプロトコールの一元化、医師と理学療法士が連携することの重要性を再確認した。

文 献

- 1) Scott CE, Howie CR, Mac Donald D, et al. Predicting dissatisfaction following total knee replacement: a prospective study of 1217 patients. J Bone Joint Surg Br 2010; 92: 1253-1258.
- 2) 茂山幸雄、杉生和久、門田康孝ほか. TKA後のanterior knee painに対する関節鏡視下手術の経験. 日本人工関節学会誌 2013; 43: 713-714.
- 3) 藤井裕之、土井一輝、徳重尊典ほか. TKA術後における早期積極的ROM訓練の効果について. 日本人工関節学会誌 2007; 37: 384-385.
- 4) 達坂幸佳、上尾豊二. 人工膝関節置換術後における関節可動域訓練の強度について. 関節外科 2004; 23: 1508-1510.
- 5) 山崎剛司、奥田真義、佐藤卓ほか. TKAに対する新しい術後圧迫包帯法の効果の検討. 人工関節学会誌 2017; 47: 541-542.
- 6) 藤川ひとみ、久保充彦、前田勉ほか: TKA術後の膝関節可動域変化は患者立脚型評価に反映するのか? JOSKAS 2019; 44(1): 192-193.
- 7) 菊池博博、太田実美、渡邊純子ほか: 人工膝関節置換術後における患者のQOL評価 日本語版膝関節症機能評価尺度(JKOM)を用いて. 東日本整災誌 2010; 22(2): 154-157.

令和2年12月に日本関節鏡・膝・スポーツ整形外科学会で 東朋八尾病院 職員が論文発表しました。

ペグ固定タイプのセメントレスTKAの短期成績と 脛骨 component周囲の骨透亮像のX線評価

奥田真義¹⁾、八田翔太²⁾、川口侑希¹⁾、稻垣有佐³⁾、田中康仁³⁾

目的

2018年から末期変形性膝関節症のほとんどの症例に対し、完全セメントレス固定タイプの人工膝関節置換術(TKA)を施行してきた。3Dポーラスコーティングされたセメントレス固定のTKAの中で、Zimmer Biomet社のPERSONAは脛骨componentがキールのないTM Two-Peg Tibial Componentである。この固定力を検討するために骨透亮像(radiolucent line: RLL)の出現率と短期成績を調査した。

対象および方法

対象は全例OA膝で展開はtryvector approach、膝蓋骨は非置換とした。止血対策として、手術終了後にトラネキサム酸1,000mgを関節内投与した。同一術者によりCR型TKAを施行し3カ月以上観察可能であった28膝を対象とした。年齢は77.4±4.7歳、BMIは23.9±3.3であった。術前後の膝可動域、FTA、日本整形外科学会OA膝治療判定基準(JOA)、MOS 36-Item Short-Form Health Survey(SF-36)、the Timed Up and Go test(TUG)を調査した。単純X線正面像および側面像で脛骨とcomponentの接觸部位を井手ら¹⁾の方法に準じてzone1から6まで分類することで部位別RLLの出現率を調

査した(図1)。

結果

伸展角度、屈曲角度、FTA、JOA、TUGに有意に改善を認めた(表1)。SF-36の下位尺度でPF(41.9±24.5→60.4±23.1)、BP(35.7±21.7→54.3±19.0)、MH(60.3±20.6→71.4±17.7)と有意に改善を認めた(図2)。RLLの出現率はzone1から6まで順に10.7%、3.6%、10.7%、35.7%、0%、14.3%であったが、経時的に改善する症例を60%に認めた(図3)。

考 察

完全セメントレス固定のTKAで、術後3カ月と早期からJOA、SF-36、TUGで有意に改善を認めた。Frickerらは無作為化前向き研究において術後2年でfunctional KSSおよびOxford scoreとともにセメント群とセメントレス群の両群間に有意差を認めなかったと報告している²⁾。Bone ingrowthやbone ongrowthを得るために骨接觸面のコーティングが各社で研究されており、3Dポーラスコーティングやpegやkeelに対するpunchの工夫により良好なpress fitが得られ初期固定力もよくなっているため

表1 結果

	術前	術後	p 値
伸展	-9.6±9.0°	-4.1±4.4°	p<0.005
屈曲	127.9±8.6°	132.3±9.5°	p<0.005
FTA	184.1±5.7°	175.1±4.4°	p<0.001
JOA	65.4±13.6 pts	78.8±8.9 pts	p<0.001
TUG	12.1±5.5 sec	9.5±2.2 sec	p<0.05

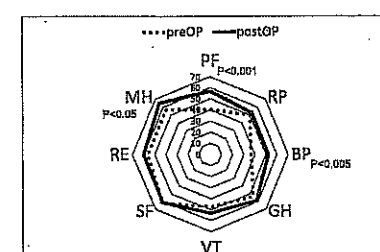


図2 SF-36

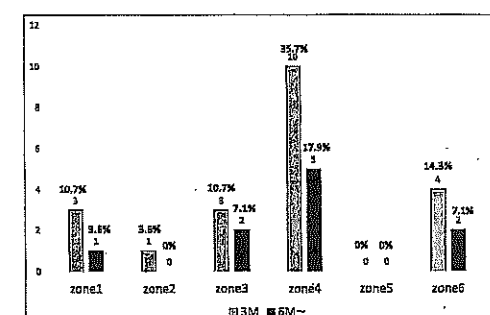


図3 RLL 出現率

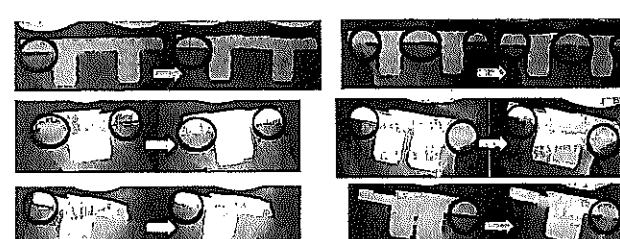


図4 RLL 消失症例

早期より良好な成績が得られている^{3,4)}。

ペグ固定式の脛骨 componentはRLLが早期に前方に出やすいが、これは膝屈曲時の剪断力に対し、ペグが耐えられない可能性がある。我々の症例で28膝中10膝にRLLが出現したが、半数で経過とともにRLLが消失した(図3、4)。井手らの報告にもあるようにセメントレス固定においてRLLは経時的に改善していく可能性があるので注意深く観察していく必要がある。また、たとえRLLがあつても症状を訴える症例は1例もなかった。

結 語

完全セメントレス固定タイプのTKAのRLLの出現率と短期成績について調査した。ペグ固定式の脛骨 componentはRLLが早期に前方に出やすいが、経過とともに改善していく可能性がある。短期ではあるが良好な成績が得られた。

文 献

- 1) 井手衆哉、高山剛、西古亨太ほか. Posterior stabilizer型人工膝関節全置換術における脛骨 component周囲の骨透亮像のX線評価—セメントとセメントレスの比較—. 整形外科と災害外科 2012; 61: 341-345.
- 2) Fricker KB, Sritulanondha S, McAsey C. To cement or not? Two-year results of a prospective, randomized study comparing cemented vs. cementless total knee arthroplasty(TKA). J Arthroplasty 2015; 30: 55-58.
- 3) 奥田真義、伊東勝也、松本祐希ほか. CR型TKAにおける同一インプラントでのセメントとセメントレスの短期成績の比較検討—患者立脚型評価を含めて—. JOSKAS 2020; 45(2): 440-441.

図1 Zone分類

Short term results and evaluation of radiolucent line around the tibial component of peg fixation type in cementless total knee arthroplasty : Masayoshi OKUDA et al.(Department of Joint Replacement Center, Toho Yao Hospital)

1) 東朋八尾病院人工関節センター 2) 東朋八尾病院リハビリテーション科

3) 奈良県立医科大学整形外科

Key words: TKA, Cementless, Radiolucent line